

اندازه‌گیری همزمان مقادیر ناچیز بنزن، تولوئن، اتیل بنزن و زایلن‌ها(BTEX) در نمونه‌های آبی با استفاده از فضای بالاسری ایستا - کروماتوگرافی گازی- طیف سنجی جرمی (HS-GC-MS)

طاهره پورصابری، پرویز سلیمانی و رضا اکبری راد: پژوهشگاه صنعت نفت

چکیده

در این تحقیق با استفاده از فضای بالاسری ایستا - کروماتوگراف گازی- طیف سنج جرمی آنالیز سریع و کارآمد مقادیر ناچیز بنزن، تولوئن، اتیل بنزن و ایزومرهای زایلن (BTEX) در نمونه‌های آبی انجام گرفت. پارامترهای مهم استخراج به روشن فضای بالاسری از قبیل دما، زمان استخراج، حجم نمونه و غلظت نمک بهینه شد. با استفاده از شرایط بهینه استخراج (دما 70°C ، غلظت نمک 4M ، زمان 20 دقیقه و حجم نمونه 10 mL) و روشن مشاهده یون برگزیده (SIM) طیفسنج جرمی، محدوده حد تشخیص $2/\mu\text{g/L}$ - $1/\text{mL}$ برای BTEX بدست آمد.

مقدمه

از مراحل مهم در هر فرایند تجزیه‌ای، آمدهسازی نمونه است، بدین روش می‌توان ترکیبات مورد نظر از ماتریس نمونه را جدا کرد. این مرحله که گاهی clean up نیز نامیده می‌شود، به خصوص در مورد نمونه‌هایی با بافت پیچیده و کثیف اهمیت می‌یابد. خطاهایی همچون خطای انجام فرایند روی نمونه، خطای اپراتور و ورود آلودگی‌ها در این مرحله حادث می‌شوند که بهبود این سه منبع خطا به تنهایی می‌تواند کیفیت نتایج را 50% بهبود بخشد.

از آنجا که آمدهسازی نمونه بیشترین منبع خطا را داراست و بخش خسته کننده و وقتگیر فرایند تجزیه‌ای به شمار می‌رود، بیشتر روش‌های سنتی و متداول، مانند استخراج مایع- مایع، مشکلاتی از قبیل استفاده از حلال‌های آلی خطرناک، سرطانزا و از بین برنده لایه اوزون را دارند. به همین دلیل تلاش‌های زیادی در به کارگیری روش‌های استخراج فاقد حلال آلی انجام شده است که اگر این روش‌ها سریع‌تر، ساده‌تر و قابل اتوМАسیون باشند ارزش بیشتری می‌یابند. در این میان، فضای بالاسری^۱ یکی از روش‌های جذاب آمدهسازی نمونه است؛ زیرا بدون نیاز به حلال تحت شرایط مشخصی از دما و فشار، آنالیت فرار را از نمونه آبی جدا می‌سازد و جایگزین مناسبی برای روش‌های کلاسیک استخراج است.

واژه‌های کلیدی: فضای بالاسری ایستا ، BTEX ، کروماتوگرافی گازی، طیف سنجی جرمی ، استخراج، نمونه آبی

^۱. Headspace

دریافت ۸۷/۷/۹ پذیرش ۸۷/۱۱/۱۲

در فرایند استخراج توسط فضای بالاسری، ظرف حاوی نمونه که در آن بسته شده است گرم و اجازه داده می‌شود تا ترکیبات آلی فرآر بخار شود و به فضای بالای ظرف منتقل شوند. سپس بین بخار موجود در بالای ظرف و نمونه آبی تعادل برقرار می‌شود و قسمتی از بخار برای تزریق به دستگاه GC یا GC/MS فرستاده می‌شود^[۱].

به دلیل استفاده وسیع بنزین، آنالیز آن‌ها در نمونه‌های زیست محیطی مورد تقاضاست. بنزین مخلوط‌های پیچیده‌ای بالغ بر ۱۰۰ ترکیب مجزا است که از آن جمله BTEX (بنزن، تولوئن، اتیل بنزن و زایلن‌ها) هستند. از آنجا که BTEX بر سلامت انسان اثر گذاشته و باعث بیماری‌های عصبی و سرطان می‌شوند، آژانس حفاظت از محیط‌زیست امریکا (EPA) آن‌ها را در لیست استانداردهای آب آشامیدنی قرار داده و حداقل سطح آلوگی (MCL) را برای بنزن $5/\text{L} \mu\text{g}/\text{L}$ ، تولوئن $1000 \mu\text{g}/\text{L}$ ، اتیل بنزن $700 \mu\text{g}/\text{L}$ و زایلن‌ها $10000 \mu\text{g}/\text{L}$ تعیین کرده است [۲، ۳]. همچنین اتحادیه اروپا بنزن را در لیست 33 آلاینده مهم آب‌ها قرار داده است [۴ و ۵] و MCL بنزن در آب‌های آشامیدنی را $10 \mu\text{g}/\text{L}$ تعیین کرده است [۶]. پس برای حفظ سلامت انسان‌ها، به یک روش موثر و مناسب جهت پایش مقادیر ناجیز BTEX در آب نیاز داریم.

در آب بروش‌های مختلفی مانند استخراج مایع-مایع [۷]، استخراج با فاز جامد^۱ (SPE) [۸]، BTEX purge& trap و GC-MS [۹ و ۱۰]، تزریق مستقیم نمونه آبی^۲ (DAI) به کروماتوگرافی گازی با آشکارساز یونش شعله^۳ (GC-FID) [۱۱]، میکرو استخراج با فاز جامد^۴ (SPME) و GC-FID^۵ (SPME) [۱۲-۱۴]، میکرو استخراج با فاز جامد (GC-MS) [۱۵]، میکرو استخراج با فاز جامد در فضای بالاسری (HS-SPME) [۱۶] و میکرو استخراج با فاز مایع^۶ (LPME) [۱۷] و GC/FID^۷ (HS-SPME) [۱۸] آنالیز شده است.

از آنجا که فرآریت زیاد و قطبیت اندک BTEX آن‌ها را به نفوذ سریع به فاز بخار هدایت می‌کند، در این تحقیق تعیین BTEX در نمونه‌های آبی، توسط روش فضای بالاسری با استفاده از دستگاه GC-MS بروش مشاهده یون برگزیده^۸ (SIM) پیشنهاد می‌گردد. چندین پارامتر تجربی که بر روی بازده فضای بالاسری تاثیر می‌گذارند از قبیل دما و زمان استخراج، غلظت نمک و حجم نمونه بهینه گردید و تحت شرایط بهینه حد تشخیص و محدوده کالیبراسیون خطی روش مورد ارزیابی قرار گرفت.

بخش تجربی

۱. مواد شیمیایی

بنزن، تولوئن، اتیل بنزن و ایزوومرهای زایلن از شرکت سیگما-آلریچ، سدیم کلرید و متانول از شرکت مرك

۱. Solid Phase Extraction

۲. Direct Aqueous Injection

۳. Solid Phase Micro Extraction

۴. Liquid Phase Micro Extraction

۵. Selected Ion Monitoring

و کلروبنزن دوتره (استاندارد داخلی) از شرکت آدریج خریداری شد. آب مقطمر دو بار نقطیر برای تهیه محلول‌های استاندارد استفاده شد.

محول استاندارد مادر BTEX با غلظت 500 mg/L از هر جزء در متابول در دمای محیط تهیه شد. این محلول در دمای 4°C درجه سانتی‌گراد به مدت ۴ هفته قابل نگهداری است. محلول‌های استاندارد با غلظت مورد نظر از رقیق‌سازی محلول مادر با آب مقطمر دو بار نقطیر، که قبل از استفاده تا دمای 4°C سرد شده بود، بهطور روزانه تهیه شدند. غلظت ثابت استاندارد داخلی (5 mg/L) در متابول تهیه شد.

۲. تجهیزات

آنالیز فضای بالاسری ایستا با استفاده از دستگاه اتو سمپلر (CTC Analytics Combipal) ساخت شرکت La-Pha-Pack مجهز به سرنگ هیتردار مخصوص دستگاه مدل MSH-0.1 00B با حجم 1 mL انجام 1 mL نمونه در ظرف‌های 20 mL با در پیچی سپتوم دار و حجم تزریق $100 \mu\text{L}$ بود. شرایطی که برای استخراج BTEX مورد استفاده قرار گرفت در جدول ۱ آمده است.

جدول ۱. شرایط بهینه استخراج به روش Headspace

Syringe Temperature : 65°C	Plunger fill speed: $100 \mu\text{L/sec}$
Agitator Temperature : 70°C	Pre-injection delay: 4 sec
Sample incubation time: 20 min	Plunger injection speed: $250 \mu\text{L/sec}$
Agitator speed: 500 rpm	Post-injection delay: 05 sec
Agitation cycle: 2 sec on, 4 sec off	Syringe flush time: 120 sec

آنالیز نمونه‌ها با دستگاه GC-MS با استفاده از دستگاه کروماتوگرافی گازی مدل Varian CP-3800 که به آشکارساز طیف‌سنجد جرمی مدل ۱۲۰۰ Varian با آنالایزر جرمی چهار قطبی مجهز شده است انجام شد. ستون موبین استفاده شده از نوع factor-four, VF-5ms با طول 30 m ، قطر داخلی 0.25 mm میلی‌متر و ضخامت لایه 0.1 mm میکرومتر بود. محفظه تزریق split/splitless با دمای 280°C آمده شد و تزریق با نسبت $1:25$ انجام شد. گاز حامل هلیوم با فلوئی $1/5 \text{ mL/min}$ بر دقیقه به کار برده شد و دمای آن برنامه‌ریزی شده از 35°C تا 70°C با سرعت ۵ درجه بر دقیقه و زمان توقف دمای اولیه 4 min انجام گرفت و سرانجام دما تا 280°C با سرعت ۲ درجه بر دقیقه - که برای 2 min نگه داشته شده - افزایش یافت. دستگاه طیف‌سنجد جرمی با انرژی یونیزاسیون 70 eV الکترون ولت و دمای اتاق یونیزاسیون و واسطه به ترتیب 200°C و 250°C تنظیم شد. آنالیز نمونه‌ها به دو روش اسکن کامل و مشاهده یون برگزیده (SIM) انجام شد. در ابتدا روش اسکن در

حدوده m/z ۳۳-۳۰۰ amu جهت شناسایی، تعیین زمان بازداری و یون‌های شاخص هر ترکیب به کار رفت. ترکیبات مختلف با مقایسه طیف‌های آن‌ها با بانک‌های اطلاعاتی NIST ۲۰۰۵ و WILEY^۵ شناسایی شدند. به مظور افزایش حساسیت، روش مشاهده یون برگزیده (SIM) در آنالیز کمی استفاده شد. فراوان‌ترین یون برای کار کیفی و کمی و یون‌های ویژه برای تأیید به کار برد شد. طبق جدول ۲ فراوان‌ترین یون بنزن $m/z=78$ مربوط به $[M]^+$ است و فراوان‌ترین یون تولوئن $m/z=91$ مربوط به $[M-H]^+$ و اتیل بنزن و زایلن‌ها با $m/z=91$ مربوط به $[M-CH_3]^+$ است که در شناسایی و اندازه‌گیری استفاده شدند. از آنجا که متا و پارازایلن طی آنالیز کروماتوگرافی جدا نشده و الگوی شکست یکسانی دارند، پیک آن‌ها با هم ترکیب شده و سطح زیر پیک مربوطه برای مجموع آن‌ها گزارش می‌شود. همه اندازه‌گیری‌های کمی در این مقاله بر اساس مساحت نسبی پیک به استاندارد داخلی که از میانگین سه اندازه‌گیری بدست آمده بود انجام شد.

جدول ۲. شرایط تجزیه‌ای BTEX در GC-MS با روش SIM

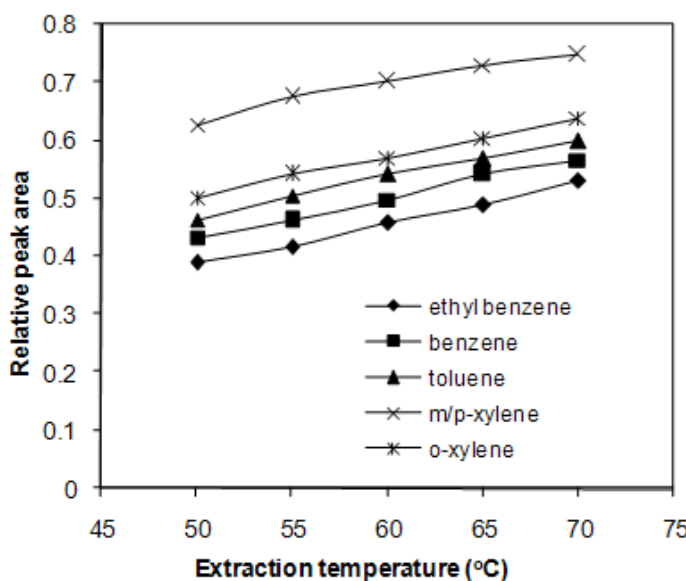
(m/z)	یون‌های تأیید کننده	(m/z)	یون شناسایی	زمان بازداری (دقیقه)	جرم مولکولی	ترکیب
۷۷، ۵۲		۷۸		۳/۲	۷۸	بنزن
۹۲، ۶۵		۹۱		۵/۶	۹۲	تولوئن
۱۰۶، ۷۷		۹۱		۸/۳	۱۰۶	اتیل بنزن
۱۰۶، ۱۰۵		۹۱		۸/۶	۱۰۶	متا+پارا-زایلن
۱۰۶، ۱۰۵		۹۱		۹/۴	۱۰۶	اورتو-زایلن
۱۱۹، ۸۲		۱۱۷		۷/۷	۱۱۷	کلروبنزن دوتره

نتایج و بحث

ارتباط مستقیمی بین مقدار آنالیت در فاز بخار و غلظت اولیه آنالیت در نمونه وجود دارد. در نتیجه هر چه مقدار نمونه در فاز بخار افزایش باید، سطح زیر پیک نیز بزرگتر می‌شود. عوامل مهم مؤثر بر میزان نمونه در فاز بخار عبارتند از:

بهینه سازی دمای نمونه

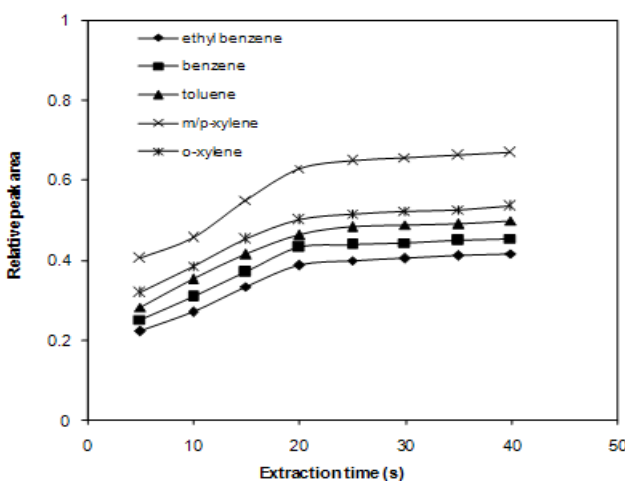
انتظار می‌رود که افزایش دمای نمونه به علت افزایش تبخیر آنالیت باعث بهبود بازده استخراج شود. اثر دمای نمونه بر بازده استخراج در محدوده $50-70^{\circ}\text{C}$ برای مخلوط BTEX با غلظت $50\text{ }\mu\text{g/L}$ بررسی شد و نمودارهای سطح نسبی پیک‌ها بر حسب دمای استخراج در شکل ۱ آورده شده است. همان‌گونه که ملاحظه می‌شود، با افزایش دما تا 70°C میزان بازده استخراج افزایش می‌یابد؛ زیرا در دمای بالاتر فشار بخار آنالیت و غلظت آن در فضای بالاسری افزایش می‌یابد. یادآوری این نکته لازم است که دمای نمونه باید حداقل 50°C باشد و مشکلاتی را در آنالیز جوش حلال باشد؛ زیرا در دمای نزدیک به نقطه جوش حلال، حلال نیز تبخیر می‌شود و مشکلاتی را در آنالیز ایجاد می‌کند. در ادامه کار دمای استخراج 70°C برای به حداقل رساندن تبخیر آب انتخاب شد.



شکل ۱. اثر دمای استخراج بر مساحت نسبی پیک‌های BTEX با غلظت $50 \mu\text{g/L}$ در آب.

بهینه‌سازی زمان استخراج

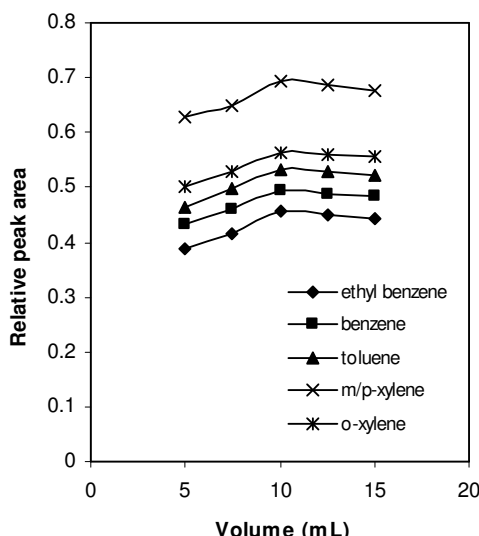
زمان لازم برای فرایند استخراج عامل مهمی است که باید بررسی شود. زمان بهینه برای استخراج فضای بالاسری زمانی در نظر گرفته می‌شود که در آن تعادل آنالیت بین فاز بخار و فاز مایع برقرار می‌شود. زمان استخراج بین ۵ تا ۴۰ دقیقه برای مخلوط BTEX با غلظت $50 \mu\text{g/L}$ در دمای 70°C بررسی شد و نمودارهای سطح نسبی پیک‌ها بر حسب زمان استخراج در شکل ۲ آورده شده است. همان‌گونه که مشاهده می‌شود، سیگنال‌های تجزیه‌ای که معیاری از بازده استخراج هستند با افزایش زمان استخراج تا ۲۰ دقیقه افزایش می‌یابد، اما این افزایش از زمان ۲۰ تا ۴۰ دقیقه چندان چشمگیر نیست. از آنجا که زمان استخراج کوتاهتر در شناسایی سریع، ترجیح داده می‌شود، زمان استخراج ۲۰ دقیقه برای آزمایش‌های بعدی در نظر گرفته شد.



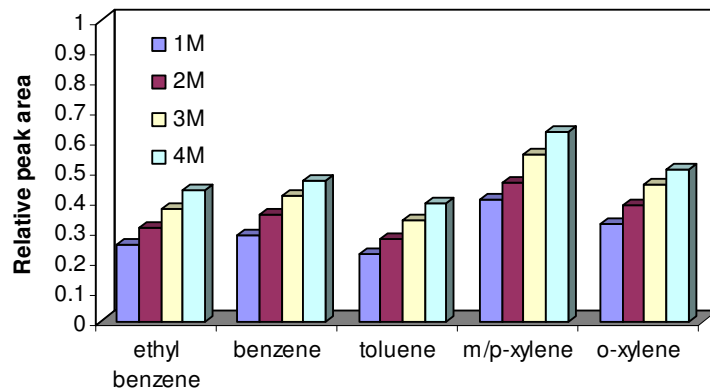
شکل ۲. اثر زمان استخراج بر مساحت نسبی پیک‌های BTEX با غلظت $50 \mu\text{g/L}$ در آب در دمای 70°C .

بهینه سازی حجم نمونه

حجم نمونه نیز نقش مهمی در آنالیز فضای بالاسری دارد؛ زیرا با افزایش حجم نمونه، حجم فضای بالاسری کاهش می‌یابد. پس نسبت بهینه حجم آبی به حجم فضای بالاسری در ظرف 20 mL با تغییر حجم نمونه از 5 mL ($1/4$ حجم ظرف) تا 15 mL ($3/4$ حجم ظرف) بررسی شد که نتایج در شکل ۳ آمده است. مقدار BTEX استخراج شده با افزایش حجم نمونه تا 10 mL مرتباً افزایش می‌یابد و در حجم 10 mL به حداقل مقدار خود می‌رسد. بنا بر این، حجم نمونه 10 mL برای آزمایش‌های بعدی انتخاب شد.



شکل ۳. اثر تغییر حجم نمونه در ظرف 20 mL میلی‌لیتری بر مساحت نسبی پیک‌های BTEX با غلظت $50\text{ }\mu\text{g/L}$ در آب در دمای 70°C و زمان 20 دقیقه



شکل ۴. اثر افزودن نمک بر بازده استخراج ترکیبات BTEX با غلظت $50\text{ }\mu\text{g/L}$ در آب در دمای 70°C و زمان 20 دقیقه و حجم نمونه 10 mL

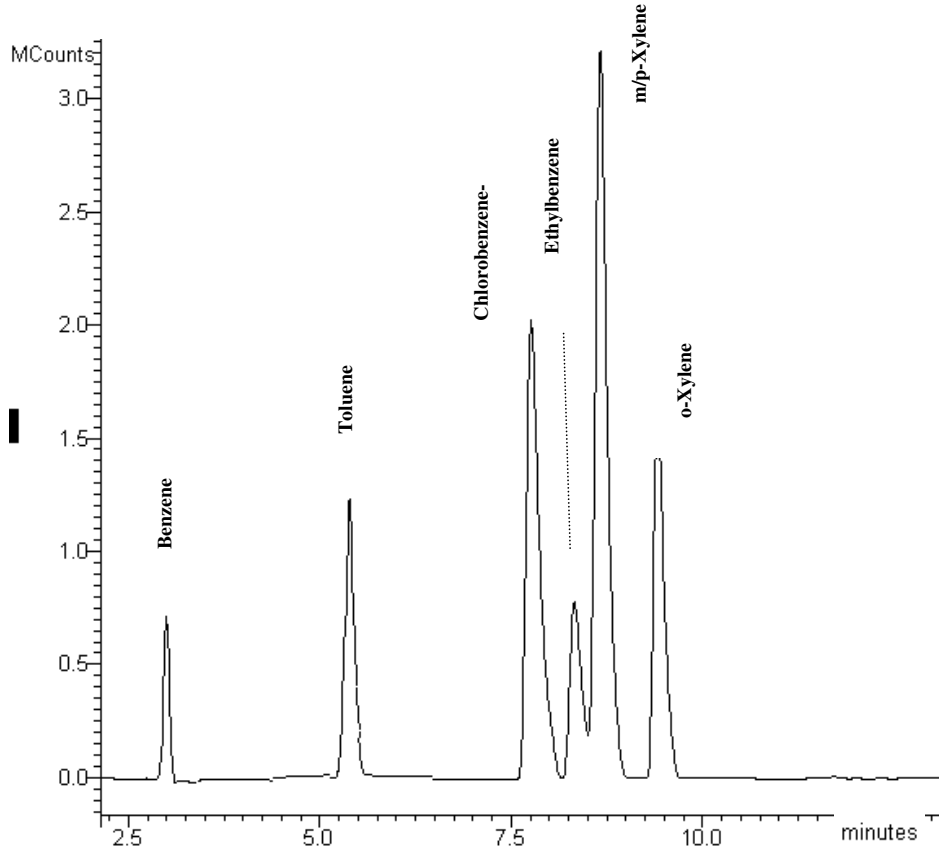
بهینه سازی غلظت نمک مورد استفاده

برای بررسی اثر نمک بر روی استخراج BTEX از نمونه آب، محلول‌هایی با غلظت $50\text{ }\mu\text{g/L}$ از $1\text{-}4\text{ M}$ از سدیم کلرید تهیه و مراحل استخراج و اندازه‌گیری بر روی این نمونه‌ها انجام شد. همان‌گونه که

طبق شکل ۴ مشاهده می‌شود افزایش غلظت نمک باعث افزایش فراوانی سیگنال(بازدۀ استخراج) تمامی BTEX‌ها می‌شود؛ زیرا افزایش نمک باعث افزایش قدرت یونی و منجر به ایجاد پدیده salting-out می‌شود که نتیجه آن کاهش حلایلت BTEX در محلول و افزایش غلظت BTEX در فاز بخار است[۲۰]. از آنجا که بیشترین بازدۀ با نمک $4M$ بدست آمد، در این کار از غلظت $4M$ سدیم کلرید استفاده شد.

ارزیابی عملکرد روش

شکل ۵ کروماتوگرام یونی کلی (TIC) محلول استاندارد حاوی $100\text{ }\mu\text{g/L}$ BTEX را بعد از استخراج فضای بالاسری در شرایط کاری بهینه (دماهی استخراج 70°C ، غلظت سدیم کلرید $4M$ ، زمان استخراج ۲۰ دقیقه و حجم نمونه 10 mL) نشان می‌دهد.



شکل ۵. کروماتوگرام یونی کلی (TIC) محلول استاندارد حاوی $100\text{ }\mu\text{g/L}$ BTEX بعد از استخراج فضای بالاسری در شرایط کاری بهینه (دماهی استخراج 70°C ، غلظت سدیم کلرید $4M$ ، زمان استخراج ۲۰ دقیقه و حجم نمونه 10 mL).

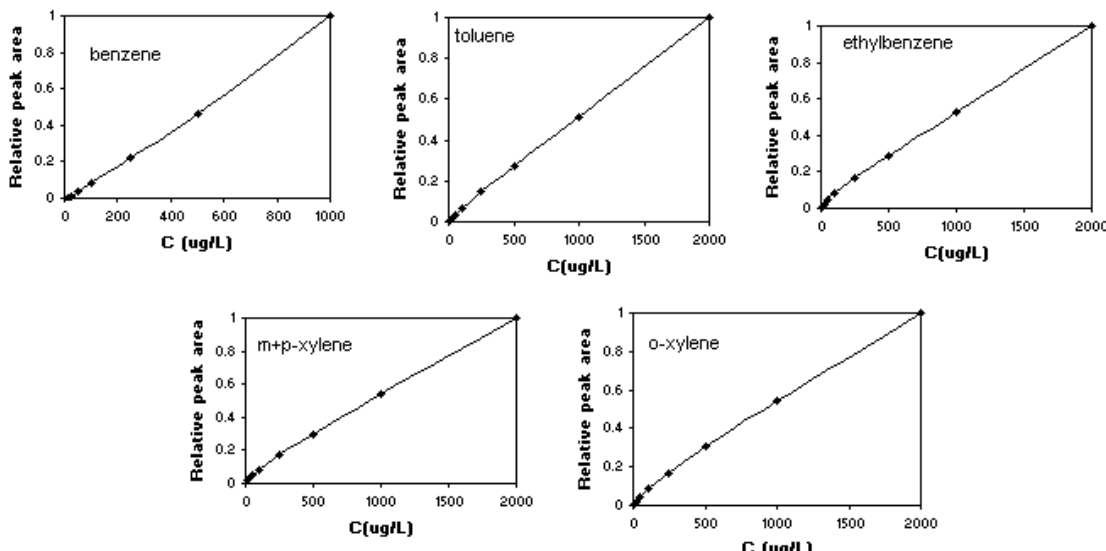
تحت شرایط بهینه خطی بودن روش استخراج پیشنهادی با استفاده از GC-MS برای تعیین BTEX در نمونه‌های آبی بررسی شد. منحنی‌های کالیبراسیون بین $10\text{ }\mu\text{g/L}$ تا $2000\text{ }\mu\text{g/L}$ تهیه شدند. در هر غلظت سه

اندازه‌گیری با نمونه‌های مستقل انجام شد. منحنی کالیبراسیون با محدوده خطی و ضرایب همبستگی جدول ۳ و شکل ۶ بدست آمد. حد تشخیص (LOD) بر اساس سیگنال بزرگتر از سه برابر متوسط سیگنال شاهد محاسبه شد. در جدول ۴ حد تشخیص روش پیشنهادی با برخی از روش‌های ارائه شده در مقالات مقایسه شده است. به منظور ارزیابی مناسب بودن برآراش^۱ خطی برای منحنی‌های کالیبراسیون، آزمون فقدان برآراش^۲ [۲۱ و ۲۲] بر روی داده‌ها انجام پذیرفت که نتایج در جدول ۳ آمده است. همان‌گونه که مشاهده می‌شود در سطح اطمینان ۹۵٪، تمام مقادیر p بزرگتر از ۰/۰۵ می‌باشد، پس الگوی خطی برای منحنی‌های کالیبراسیون مناسب است.

جدول ۳. ضرائب همبستگی، حدود تشخیص و محدوده خطی.

p مربوط به آزمون فقدان برآراش ^a	محدوده خطی (µg/L)	حد تشخیص (µg/L)	ضریب همبستگی	ترکیب
۰/۶۲۲۷	۱۰-۱۰۰۰	۱/۰	۰/۹۹۷	بنزن
۰/۸۱۸۹	۱۰-۲۰۰۰	۱/۴	۰/۹۹۸	تولوئن
۰/۹۰۵۳	۱۰-۲۰۰۰	۲/۲	۰/۹۹۴	اتیل بنزن
۰/۶۷۳۱	۱۰-۲۰۰۰	۲/۲	۰/۹۹۴	متا-پارا-زایلن
۰/۸۶۲۲	۱۰-۲۰۰۰	۲/۲	۰/۹۹۵	اورتو-زایلن

۹۵% سطح اطمینان a



شکل ۶. منحنی‌های کالیبراسیون BTEX در شرایط کاری بهینه (دما^۰، غلظت سدیم کلرید M^۴، زمان استخراج ۲۰ دقیقه و حجم نمونه ۱۰ mL).

۱.fit

۲.lack-of fit test

جدول ۴. مقایسه حد تشخیص روش پیشنهادی با برخی روش‌های ارائه شده در مقالات.

مرجع	حد تشخیص						روش مورد استفاده
	اورتوزاپلین	متا+پارازایلن	اتیل بنزن	تولوئن	بنزن		
روش پیشنهادی	۲/۲ $\mu\text{g L}^{-1}$	۲/۲ $\mu\text{g L}^{-1}$	۲/۲ $\mu\text{g L}^{-1}$	۱/۴ $\mu\text{g L}^{-1}$	۱ $\mu\text{g L}^{-1}$		HS-GC/MS
۱۶	۰/۰۲ ng L^{-1}	۰/۰۱ ng L^{-1}	۰/۰۵ ng L^{-1}	۰/۰۲ ng L^{-1}	۰/۰۴ ng L^{-1}		SPME-GC/MS
۱۹	-	-	۰/۰۰۷ mg mL^{-1}	۰/۰۰۵ mg mL^{-1}	۰/۰۳ mg mL^{-1}		LPME-GC/FID
۱۷	۰/۰۲ $\mu\text{g L}^{-1}$	۰/۰۲ $\mu\text{g L}^{-1}$	۰/۰۲ $\mu\text{g L}^{-1}$	۰/۰۲ $\mu\text{g L}^{-1}$	۰/۰۷ $\mu\text{g L}^{-1}$		HS-SPME-GC/FID

از روش پیشنهادی جهت تعیین مقدار BTEX در نمونه‌های واقعی (نمونه‌های گرفته شده از آب‌های اطراف پالایشگاه تهران) استفاده شد. تحت شرایط بهینه سه تکرار بر روی هر نمونه انجام پذیرفت که نتایج در جدول ۵ آمده است. همچنین صحت تجزیه‌ای از طریق بازیابی BTEX اضافه شده^۱ به آب شیر بررسی شد.

جدول ۵. تعیین BTEX در نمونه‌های مختلف آب در شرایط بهینه استخراج.

ترکیب	آب شیر		غلظت ^a ($\mu\text{g/L}$)		آب ۱	آب ۲
	پازده (%)	مقدار بدست آمده ($\mu\text{g/L}$) ^a	مقدار اضافه شده ($\mu\text{g/L}$)	غلظت ($\mu\text{g/L}$)		
بنزن	۹۷/۶	۲۴/۴ ($\pm ۴/۸$)	۲۵/۰	- ^b	۶۴/۲ ($\pm ۶/۱$)	۴۱ ($\pm ۴/۸$)
تولوئن	۹۷/۰	۲۴/۲ ($\pm ۳/۱$)	۲۵/۰	- ^b	۵۶/۳ ($\pm ۵/۳$)	۱۲/۰ ($\pm ۰/۸$)
اتیل بنزن	۹۵/۶	۲۳/۹ ($\pm ۴/۲$)	۲۵/۰	- ^b	۷۵/۴ ($\pm ۸/۸$)	۲۲/۶ ($\pm ۲/۲$)
متا+پارازایلن	۹۹/۲	۲۴/۸ ($\pm ۱/۴$)	۲۵/۰	- ^b	۳۶/۱ ($\pm ۳/۳$)	۲۹/۲ ($\pm ۴/۵$)
اورتوزاپلین	۱۰۰/۸	۲۵/۲ ($\pm ۲/۸$)	۲۵/۰	- ^b	۲۹/۰ ($\pm ۱/۷$)	۳۱/۶ ($\pm ۲/۸$)

^a میانگین ۳ تکرار متوالی \pm درصد RSD^b یافت نشد

نتیجه‌گیری نهایی

در این تحقیق HS-GC/MS با روش مشاهده یون برگزیده در آنالیز BTEX در نمونه‌های آبی با موفقیت استفاده شد. استخراج انجام شده به روش فضای بالاسری از مزایای سادگی، دقت و صحت تجزیه‌ای زیاد، بهکار نبردن حلال‌های آلی، کاهش زمان استخراج و حذف مراحل آماده سازی نمونه برخوردار است.

منابع

- 1.Z.Penton, J. High Resolution Chromatogr., 15,834 (1992).
2. <http://www.epa.gov/safewater/consumer/mcl.pdf>, 4 June 2004.

¹.Spiked

3. <http://toxics.usgs.gov/definitions/btex.html>, 4 June 2004.
4. Directive 2000/60/EC of the European Parliament and of the Council of 23 October 2000, Off. J. Eur. Commun., 327 (2002).
5. Decision 2455/2001/EC of the European Parliament and of the Council of 20 November 2001, Off. J. Eur. Commun. 331(2001).
6. Directive 98/83/EC of the Council of 3 November 1998, Off. J. Eur. Commun 330, (1998).
7. H.J.Stan, N.H.Krisch, J. Environ.Anal.Chem., 60,33 (1995).
8. V.I.Beketov, V.Z.Parchinski, N.B. Zorov, J. Chromatogr. A, 731,65 (1996).
9. M. Rosell, S. Lacorte, A. Ginebreda, D. Barcelo, J. Chromatogr. A, 995,171 (2003).
10. F. Binachi, M. Creri, E. Marengo, M. Musci, J. Chromatogr. A, 975,113 (2002).
11. R. Kubinec, J. Adamuscin, H. Jurdakova, M. Foltin, I. Ostrovsky, J. Chromatogr. A, 1084,90 (2005).
12. J.C. Florez Menendez, M.L. Fernandez Sanchez, J.E. Sanchez Uria, E. Fernandez Martinez, A.Sanz-Medel, Anal.Chim.Acta, 415,9 (2000).
13. Almedia,C.M.M., Boas,L.V., J. Environ. Monitor, 6,80 (2004).
14. O. Ezquerro, Ortiz,G., B. Pons, M.T. Tena, J. Chromatogr. A, 1035,17 (2004).
15. D.W. Potter, J. Pawliszyn, J. Chromatogr. A, 625,247 (1992).
16. M-R.Lee, C-M.Chang,J.Dou, Chemosphere, 69,1381 (2007).
17. I.Arambarri, M.Lasa, R.Garcia, E.Millan, J. Chromatogr. A, 193,1033 (2004).
18. J.X. Wang, D.Q. Jiang, X.P. Yan, Talanta, 68,945 (2006).
19. A. Sarafraz-Yazdi, A.H. Amiri, Z. Es'haghi, Chemosphere, 71,671 (2008).
20. B. Kolb, L.S.Ettr, Static headspace-gas chromatography theory and practice, Wiley-VCH,1997.
21. L.Kirkup, M.Mulholland, J. Chromatogr. A, 1,1029 (2004).
22. D.L. Massart, B.G.M. Vandeginste, L.M.C. Buydens., S.De Jong, P.J. Lewi, J. Smeyers-Verbeke Handbook of Chemometrics and qualimetrics: part A, Elsevier Amsterdam (1997).